

13. Энергия разрыва химических связей. Потенциалы ионизации и сродства к электрону/Под ред. В. Н. Кондратьева. М.: Наука, 1974.
  14. Р. С. Данбар.— В кн.: Реакционная способность и пути реакций/Под ред. Г. Клонмана. М., 1977.
  15. Н. Ф. Calcote, J. L. Reuter. J. Chem. Phys., 1963, 38, 2.
  16. J. A. Jreen, T. M. Sugden. Ninth Symp. (Intern.) on Combust. N.— Y. and London Acad. Press, 1963.
  17. В. И. Ботова, Н. Д. Щербаков, Б. С. Фиалков. ФГВ, 1980, 16, 3.
  18. В. И. Ботова, Г. М. Турдыбеков, Б. С. Фиалков. Тез. докл. семинара по электрофизике горения. Караганда, 1980.
- 

## О ЛИНЕЙНОЙ ДЛИННОВОЛНОВОЙ УСТОЙЧИВОСТИ ЦИЛИНДРИЧЕСКОГО СТАЦИОНАРНОГО ЛАМИНАРНОГО ПЛАМЕНИ ВО ВРАЩАЮЩЕЙСЯ СРЕДЕ

*П. П. Лазарев, А. С. Плешанов*

*(Москва)*

В реальных течениях ламинарное пламя может распространяться по свежей смеси с закруткой. В такой ситуации на течение среды в системе координат, связанной с пламенем, действуют центробежная и кориолисова силы. В данной работе рассматривается влияние этих эффектов на устойчивость ламинарного фронта пламени. Исследование проводится в линейном (по амплитуде возмущений) приближении и для гидродинамических возмущений, так что длина их волн велика по сравнению с тепловой шириной фронта пламени. Анализ ведется на основной границе устойчивости, где частота возмущений равна нулю (течение стационарно).

Радиальное стационарное течение несжимаемой и невязкой жидкости в системе координат, вращающейся вокруг оси  $z$  с угловой скоростью  $\omega$ , описывается уравнениями неразрывности

$$\frac{1}{r} \frac{\partial}{\partial r} (rv_r) = 0$$

и движения [1]

$$v_r \frac{\partial v_r}{\partial r} + \frac{1}{\rho} \frac{\partial p}{\partial r} = \omega^2 r, \quad \frac{1}{\rho r} \frac{\partial p}{\partial \varphi} = -2\omega v_r,$$

где  $v$  — скорость;  $p$  — давление;  $\rho$  — плотность;  $r$  — радиус;  $\varphi$  — полярный угол; член  $\omega^2 r$  — центробежное ускорение, член  $-2\omega v_r$  — ускорение Кориолиса. Здесь предполагается, что компоненты  $v_\varphi = v_z = 0$  и  $\partial v_r / \partial \varphi = -\partial v_r / \partial z = 0$ . Решение системы имеет вид ( $Q = \text{const}$ )

$$v_r = Q/r, \quad p/\rho + 1/2 \cdot [(Q/r)^2 - (\omega r)^2] + 2\omega Q \varphi = \text{const}. \quad (1)$$

В связи с монотонной зависимостью  $p$  от  $\varphi$  данное решение возможно лишь при наличии скачка  $p$ , например, при  $\varphi = \pm\pi$ , что реализуется помещением непроницаемой стенки на луче  $\varphi = \pm\pi$ .

Возмущенная стационарная система уравнений имеет общий вид [1]

$$\frac{1}{r} \frac{\partial}{\partial r} (rv'_r) + \frac{1}{r} \frac{\partial v'_\varphi}{\partial \varphi} + \frac{\partial v'_z}{\partial z} = 0, \quad (2)$$

$$\frac{\partial}{\partial r} (v_r v'_r) + \frac{1}{\rho} \frac{\partial p'}{\partial r} = 2\omega v'_\varphi, \quad (3)$$

$$\frac{v_r}{r} \frac{\partial}{\partial r} (rv'_\varphi) + \frac{1}{\rho r} \frac{\partial p'}{\partial \varphi} = -2\omega v'_r, \quad (4)$$

$$v_r \frac{\partial v'_z}{\partial r} + \frac{1}{\rho} \frac{\partial p'}{\partial z} = 0, \quad (5)$$

где штрихи относятся к возмущениям. В принятом линейном приближении можно считать, не умалая общности, что зависимость возмущений от  $\varphi$  и  $z$  определяется множителем  $\exp(im\varphi + ikz)$ , где  $m$  — целое число;  $k = 2\pi/\Lambda$  — волновое число ( $\Lambda$  — длина волны). Ограничимся здесь исследованием частных ситуаций: 1)  $m = 0$  (возмущения типа перетяжек), 2)  $k = 0$  (чисто азимутальные возмущения).

При  $m = 0$ , согласно (2), можно ввести функцию тока  $\psi'$  соотношениями

$$v'_r = \frac{1}{r} \frac{\partial \psi'}{\partial z}, \quad v'_z = -\frac{1}{r} \frac{\partial \psi'}{\partial r}. \quad (6)$$

Комбинация (2)–(5) дает уравнение для  $\psi'$

$$\frac{1}{r} \frac{\partial}{\partial r} r \frac{\partial}{\partial r} \frac{1}{r} \left( \frac{\partial}{\partial r} \frac{1}{r} \frac{\partial}{\partial r} + \frac{1}{r} \frac{\partial^2}{\partial z^2} \right) \psi' + \left( \frac{2\omega}{Q} \right)^2 \frac{\partial^2 \psi'}{\partial z^2} = 0. \quad (7)$$

Совершая замену  $\psi' = r\partial\chi'/\partial r$ , вводя  $x = kr$  и трижды интегрируя (7), получим

$$L\chi' = [f'_0 + f'_1(x/2)^2 + f'_2 x^2 \ln x] + \varepsilon^2 R\chi', \quad (8)$$

где

$$\begin{aligned} L\chi' &\equiv \left( \frac{1}{x} \frac{\partial}{\partial x} x \frac{\partial}{\partial x} - 1 \right) \chi', \\ R\chi' &\equiv \int x \int \frac{1}{x} \int x^2 \frac{\partial \chi'}{\partial x} dx dx dx, \\ \varepsilon &= (2\omega/Qk^2) \end{aligned}$$

и  $f'$  — постоянные интегрирования, из которых уровень отсчета  $f'_0$  не имеет значения, а  $f'_2 = 0$  из условия конечности  $v_z$  при  $x = 0$ . Структура уравнения (8) позволяет искать его решение в виде ряда по параметру  $\varepsilon^2$

$$\chi' = \sum_{k=0}^{\infty} \varepsilon^{2k} \chi'_k, \quad (9)$$

так что

$$L\chi'_0 = f'_1(x/2)^2, \quad L\chi'_{k+1} = R\chi'_k,$$

откуда

$$\chi'_0 = \hat{\chi}_0^{aI} I_0(x) + \hat{\chi}_0^{aII} K_0(x) + \hat{\chi}_0^r (x/2)^2,$$

где  $I_0$  и  $K_0$  — функции Бесселя от мнимого аргумента 1-го и 2-го рода соответственно, символ  $\hat{\chi}$  означает амплитуду. Индексы  $a_I$ ,  $a_{II}$  относятся к решениям однородного уравнения  $L\chi'_0 = 0$ , индекс  $r$  — к решению неоднородного уравнения. При  $\varepsilon = 0$  ( $\chi' \equiv \chi'_0$ ) решения  $a_I$ ,  $a_{II}$  являются акустическими, а решение  $r$  — вихревым. При  $\varepsilon \neq 0$  получаются слитые акусто-вихревые возмущения.

Получение общего решения (8) основано на следующих фактах. Введем обозначения

$$\varphi_l = x^l I_l, \quad \psi_l = x^l K_l, \quad \omega_l = (x/2)^{2l}.$$

Тогда

$$\begin{aligned} L\varphi_l &= 2l\varphi_{l-1}, \\ R\varphi_l &= \varphi_{l+2} - 2\varphi_{l+1} + 2^2 l\varphi_l - 2^3 l(l-1)\varphi_{l-1} + \dots, \\ L\psi_l &= -2l\psi_{l-1}, \\ R\psi_l &= \psi_{l+2} + 2\psi_{l+1} + 2^2 l\psi_l + 2^3 l(l-1)\psi_{l-1} + \dots, \\ L\omega_l &= -\omega_l + l^2 \omega_{l-1}, \\ R\omega_l &= \frac{4l}{(l+1)^2(l+2)} \omega_{l-2}. \end{aligned}$$

В результате, например,

$$\chi'_1 = \hat{\chi}_0^{aI} (1/6\varphi_3 - 1/2\varphi_2) - \hat{\chi}_0^{aII} (1/6\psi_3 + 1/2\psi_2) - \hat{\chi}_0^r (1/3\omega_3 + 3\omega_2 + 12\omega_1).$$

Остальные величины имеют вид

$$\begin{aligned} v_r' &= ik^2 \frac{\partial \chi'}{\partial x}, \quad v_z' = -k^2 \frac{1}{x} \frac{\partial}{\partial x} x \frac{\partial}{\partial x} \chi', \\ v_\varphi' &= -ik^2 \epsilon \frac{1}{x} \int x^2 \frac{\partial \chi'}{\partial x} dx, \\ p' &= -i\rho v_r k^2 \frac{\partial}{\partial x} \frac{1}{x} \frac{\partial}{\partial x} x \frac{\partial}{\partial x} \chi'. \end{aligned} \quad (10)$$

Практически достаточно получить формулы для  $\chi'$  и  $v_z'$ , тогда формулы для  $v_r'$  из  $\chi'$  и  $v_\varphi'$ ,  $p'$  из  $v_z'$  находятся автоматически. Поскольку предполагается, что зависимость от  $\varphi$  отсутствует, то условие  $\partial v_\varphi'/\partial\varphi(\pm\pi)=0$  может быть согласовано с наличием стенки при  $\varphi=\pm\pi$  включением на одном из этих лучей вдува, а на другом — отсоса. Впрочем, при углах, не слишком близких к  $\varphi=\pm\pi$ , наличие этой стенки не может быть существенным.

На фронте пламени ( $r=r_0$ ) выполняются граничные условия непрерывности потока массы, тангенциальных компонентов скорости и нормального потока импульса

$$\rho_1 \left( v_{1r}' + \frac{dv_{1r}}{dr} \zeta' \right) = \rho_2 \left( v_{2r}' + \frac{dv_{2r}}{dr} \zeta' \right) = j\kappa \zeta', \quad (11)$$

$$v_{1z}' + v_{1r} \frac{\partial \zeta'}{\partial z} = v_{2z}' + v_{2r} \frac{\partial \zeta'}{\partial z}, \quad (12)$$

$$v_{1\varphi}' = v_{2\varphi}', \quad (13)$$

$$p_1' + \frac{dp_1}{dr} \zeta' + 2jv_{1r}\kappa\zeta' = p_2' + \frac{dp_2}{dr} \zeta' + 2jv_{2r}\kappa\zeta', \quad (14)$$

где  $j = \rho_1 v_{1r} = \rho_2 v_{2r}$  — поток массы;  $\kappa$  — коэффициент, пропорциональный энергии активации реакции горения [2];  $\zeta' = \hat{\zeta} e^{ikz}$  — возмущение  $r$ -координаты фронта; индексы  $\alpha=1, 2$  относятся к свежей смеси и продуктам сгорания соответственно.

Течение может осуществляться как внутрь цилиндра (при этом продукты сгорания удаляются из цилиндра с помощью стока в начале координат), так и наружу (при этом свежая смесь поступает в цилиндр посредством источника). В первом случае в среде 1 учитывается возмущение  $a_{11}$ , а в среде 2  $a_1$ ; во втором случае — наоборот. Ввиду  $\kappa \sim v_r$  [2] эти случаи отличаются также знаками  $\kappa$  (в дальнейшем считается  $\kappa \sim |v_r|$ ).

Исследуемая задача при  $\epsilon \neq 0$  имеет принципиальное отличие от аналогичных, ранее рассмотренных задач, именно: в среде 1 кроме  $a$ -возмущения нужно учитывать и  $r$ -возмущение. Это следует, в частности, из выражения для радиальной компоненты вихря скорости  $R_r' = -\partial v_\varphi'/\partial z$ . Появление нового возмущения позволяет удовлетворить граничное условие (13) нетривиальным образом.

Введем обозначения (см. (10))

$$\begin{aligned} v_{\alpha r}' &= ik^2 (\hat{\chi}_\alpha^a v_{\alpha r}^a + \hat{\chi}_\alpha^r v_{\alpha r}^r), \\ v_{\alpha z}' &= -k^2 (\hat{\chi}_\alpha^a v_{\alpha z}^a + \hat{\chi}_\alpha^r v_{\alpha z}^r), \\ v_{\alpha\varphi}' &= -ik^2 \epsilon_\alpha (\hat{\chi}_\alpha^a v_{\alpha\varphi}^a + \hat{\chi}_\alpha^r v_{\alpha\varphi}^r), \\ p_\alpha' &= -ijk^2 (\hat{\chi}_\alpha^a p_\alpha^a + \hat{\chi}_\alpha^r p_\alpha^r); \end{aligned}$$

определители

$$\begin{aligned} \Delta_{1rz} &= v_{1r}^a v_{1z}^r - v_{1z}^a v_{1r}^r, \quad \Delta_{2rz} = v_{2r}^a v_{2z}^r - v_{2z}^a v_{2r}^r, \\ \Delta_{1rp} &= v_{1r}^a p_1^r - p_1^a v_{1r}^r, \quad \Delta_{2rp} = v_{2r}^a p_2^r - p_2^a v_{2r}^r, \quad \Delta_{2zp} = v_{2z}^a p_2^r - p_2^a v_{2z}^r, \\ \Delta_{1r\varphi} &= v_{1r}^a v_{1\varphi}^r - v_{1\varphi}^a v_{1r}^r, \quad \Delta_{2r\varphi} = v_{2r}^a v_{2\varphi}^r - v_{2\varphi}^a v_{2r}^r, \quad \Delta_{2z\varphi} = v_{2z}^a v_{2\varphi}^r - v_{2\varphi}^a v_{2z}^r, \\ \Delta_p &= \Delta_{1rz}\Delta_{2rp} - \Delta_{2rz}\Delta_{1rp}, \quad \Delta_\varphi = \Delta_{1rz}\Delta_{2r\varphi} - \Delta_{2rz}\Delta_{1r\varphi} \end{aligned}$$

и их комбинации

$$\begin{aligned} a_{1p} &= v_{1r}^a [\Delta_{2zp} + 2(1-\mu) \Delta_{2rz}] + \mu (p_1^a \Delta_{2rz} - v_{1z}^a \Delta_{2rp}), \\ a_{2p} &= v_{1r}^a (1-\mu) [x_0 \Delta_{2rp} - (1+K) \Delta_{2rz}]; \\ a_{1\varphi} &= v_{1r}^a \Delta_{2z\varphi} + \mu (v_{1\varphi}^a \Delta_{2rz} - v_{1z}^a \Delta_{2r\varphi}), \\ a_{2\varphi} &= v_{1r}^a (1-\mu) x_0 \Delta_{2r\varphi}, \end{aligned}$$

где  $\mu = \rho_2/\rho_1 \leqslant 1$ ;  $x_0 = kr_0$ ;  $\varepsilon_2 = \mu \varepsilon_1$ ;

$$K = \frac{(\omega r_0)^2}{v_{1r} v_{2r}} = \frac{1}{4} \mu (\varepsilon_1 x_0^2)^2.$$

Тогда искомое характеристическое уравнение относительно  $\lambda = \kappa r_0$  имеет вид

$$\lambda = -1 - \frac{a_{2p} \Delta_\varphi - a_{2\varphi} \Delta_p}{a_{1p} \Delta_\varphi - a_{1\varphi} \Delta_p}. \quad (15)$$

Ввиду  $\lambda \sim 1/2(1-\mu)x_0$  [2] величина  $\bar{\lambda}$ , пропорциональная собственно энергии активации, определяется соотношением

$$\bar{\lambda} = \frac{\lambda}{1/2(1-\mu)x_0}. \quad (16)$$

Выражение (15) при  $\varepsilon_1 = 0$  не совпадает с аналогичным выражением [3]

$$\lambda = -1 - \frac{a_{2p}}{a_{1p}} \Big|_{\varepsilon_1=0}. \quad (17)$$

Причина расхождения заключается в учете дополнительного граничного условия (13), которое при малых, но отличных от нуля, значениях  $\varepsilon_1$  дает неисчезающий с  $\varepsilon_1$  вклад в (15).

На рис. 1, 2 (течение внутрь) и 3, 4 (наружу) даны зависимости  $\lambda$  и  $\bar{\lambda}$  от  $\mu$  при параметрах  $\varepsilon_1 = 0; 0,1; 0,2$  и  $x_0 = 1; 3$  (кривые 1, 4 проведены согласно (17)). Области устойчивости находятся над кривыми. Расчеты проводились в первых двух приближениях по  $\varepsilon_1^2 (\chi^{(1)} = \chi_0 + \varepsilon_1 \chi_1, \chi^{(2)} = \chi_0 + \varepsilon_1^2 \chi_1 + \varepsilon_1 \chi_2)$ . При выбранных значениях  $\varepsilon_1$  и  $x_0$  сходимость оказалась хорошей. Из рис. 1, 3 (аналогично рис. 2, 4) можно сделать выводы: 1) учет граничного условия (13) при  $\varepsilon_1 = 0$  понижает устой-

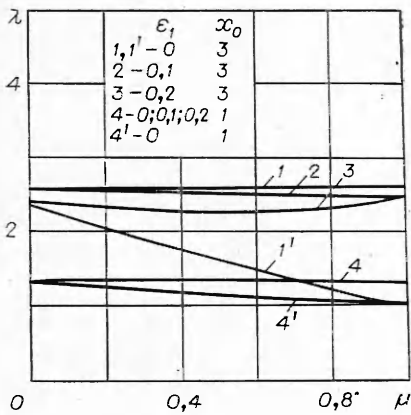


Рис. 1. Зависимость параметра  $\lambda$  от отношения плотностей  $\mu$  для течения внутрь.

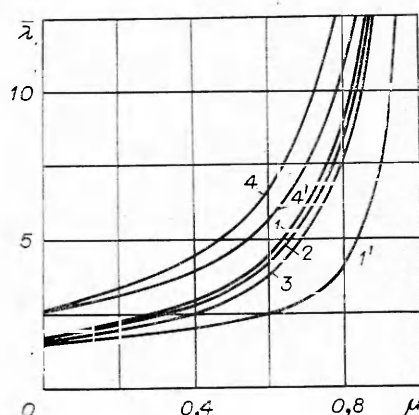


Рис. 2. Зависимость  $\bar{\lambda}$  от  $\mu$  для течения внутрь.

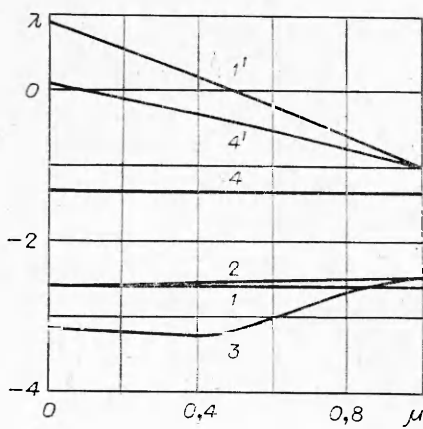


Рис. 3. Зависимость  $\lambda$  от  $\mu$  для течения наружу.

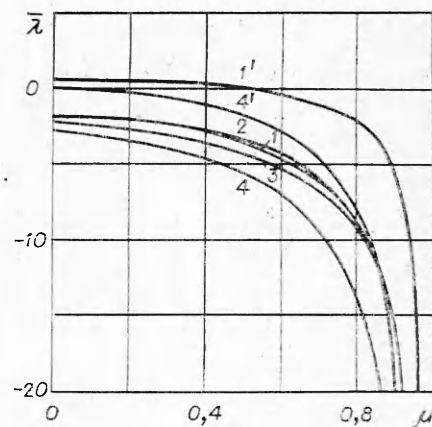


Рис. 4. Зависимость параметра  $\bar{\lambda}$  от  $\mu$  для течения наружу.

чивость для течения внутрь и повышает ее для течения наружу; 2) вращение, учитываемое ускорением как центробежным (параметр  $K$ ), так и корполисовым (параметр  $\varepsilon_1$ ) при выбранных значениях  $\varepsilon_1$  и  $x_0$ , повышает устойчивость для обоих типов течений (ср. ниже со случаем  $k = 0$ ).

Развернутые выражения  $\lambda$ , согласно (15), при  $\varepsilon_1 = 0$  имеют вид для течения внутрь

$$\lambda = 1 + \frac{3}{1 + 8/x_0^2} \quad (18)$$

и наружу

$$\lambda = -1 - \frac{3}{1 + 8/x_0^2}. \quad (19)$$

Соответствующие выражения  $\lambda$ , согласно (17), имеют вид [3]

$$\lambda = 1 + (1 - \mu) \frac{x_0 - I_2/I_1}{\frac{1}{x_0 I_1 K_1} + (1 - \mu) \left( \frac{I_2}{I_1} - \frac{K_0}{K_1} \right)}, \quad (20)$$

$$\lambda = -1 - (1 - \mu) \frac{x_0 + K_2/K_1}{-\frac{1}{x_0 I_1 K_1} + (1 - \mu) \left( \frac{I_0}{I_1} - \frac{K_2}{K_1} \right)}. \quad (21)$$

Любопытно, что формулы (18), (19) не содержат  $\mu$ . Предельный переход при  $x_0 \rightarrow \infty$  к результату Ландау [2]  $\lambda/k \rightarrow 1/2(1 - \mu)$  имеет место для выражений (20), (21) и, очевидно, не выполняется для (18), (19). При  $x_0 \rightarrow \infty$  последние формулы дают  $\bar{\lambda} \rightarrow 0 \pm 0$ , т. е. абсолютную устойчивость, поскольку реальные значения  $\bar{\lambda} > 0$ . Таким образом, сколь угодно малое вращение обеспечивает длинноволновую устойчивость слабо искривленных пламен по отношению к возмущениям типа перетяжек.

При  $k = 0$  имеет место  $v_z' = 0$  и не используется граничное условие (12). Анализ оказывается значительно более простым, и искомое характеристическое уравнение имеет вид для течения внутрь

$$\frac{\lambda}{m} = \frac{1 - \mu}{2} \frac{1 - K/(m + 1)}{1 + \mu/(m + 1)} + \frac{1}{m} \quad (22)$$

и для течения наружу ( $\lambda \rightarrow -\lambda$ ,  $m \rightarrow -m$ )

$$\frac{\lambda}{m} = \frac{1 - \mu}{1} \frac{1 + K/(m - 1)}{1 - \mu/(m - 1)} - \frac{1}{m} \quad (23)$$

При  $m \rightarrow \infty$  ввиду  $m = 2\pi r_0/\Lambda = kr_0$  в обоих типах течений получается предельный переход к результату Ландау [2]. Из (22), (23) следует, что в данном случае кориолисово ускорение не влияет на устойчивость фронта, а центробежное — увеличивает устойчивость течения внутрь и понижает устойчивость течения наружу, что физически очевидно.

Поступила в редакцию 9/VI 1982

#### ЛИТЕРАТУРА

1. Н. Е. Кочин, И. А. Кильель, Н. В. Розе. Теоретическая гидромеханика. М.—Л.: Гос-техиздат, 1948.
2. П. П. Лазарев, А. С. Плешанов. ФГВ, 1980, 16, 6.
3. П. П. Лазарев, А. С. Плешанов. ФГВ, 1983, 19, 1.

## ВЛИЯНИЕ ТЕТРАФТОРДИБРОМЭТАНА НА ХЕМИИОНИЗАЦИЮ И ХЕМИЛЮМИНЕСЦЕНЦИЮ В ПРОПАН-БУТАН-ВОЗДУШНЫХ ПЛАМЕНАХ

А. Б. Фиалков, Л. А. Зиновьев, Б. С. Фиалков

(Караганда)

Рассматривается влияние ингибитора  $C_2F_4Br_2$  на хемиионизацию и хемивозбуждение в пропан-бутан-воздушных пламенах. Изучались атмосферные пламена на цилиндрической горелке и пламена, горящие при давлении 40—500 мм рт. ст. на плоской матричной горелке. Пары ингибитора подавались в поток топливно-воздушной смеси из прогреваемой ячейки. Расход ингибитора определялся весовым методом.

Концентрация положительных ионов рассчитывалась из вольт-амперной характеристики цилиндрического зонда Ленгмюра [1]. Интенсивность излучения радикалов  $CH^*$  и  $C_2^*$  измерялась на кантах полос 4315 и 5165 Å соответственно. Эффективные температуры — колебательная  $C_2^*$  и вращательная  $CH^*$  — определялись из распределения интенсивности излучения по переходам [2].

Хемивозбужденный радикал  $CH^*$  образуется при участии кислорода или его соединений, о чем свидетельствует положение области его люминесценции в пламенах различных конфигураций и условий подвода окислителя, а также зависимость интенсивности его излучения от коэффициента избытка окислителя [3]. По Гейдону [2],



Как видно из рис. 1, ингибирование пламени с помощью тетрафтордибромэтана слабо влияет на интенсивность излучения  $CH^*$ , а так как  $C_2F_4Br_2$  преимущественно воздействует на атомы водорода, уменьшая их концентрацию, в образовании и расходовании  $CH^*$  атомарный водород, видимо, участия не принимает.

Интенсивность излучения  $C_2^*$  при ингибировании тетрафтордибромэтаном быстро возрастает, начиная с некоторого расхода  $C_2F_4Br_2$  (см. рис. 1). Примерно также зависит от расхода ингибитора образование сажи в богатых пламенах (определялось по излучению сплошного спектра в желтой области). Сажа и  $C_2^*$  образуются в пламени, видимо, в результате однотипных начальных реакций, которые при недостатке кислорода (верхняя часть факела богатой смеси) завершаются образованием сажи, а при достаточном количестве кислорода — образованием  $C_2^*$  в хемилюминесцентной зоне.

Зависимость концентрации положительных ионов от расхода ингибитора имеет экстремальный характер (рис. 2); при небольших расходах  $C_2F_4Br_2$  концентрации ионов в ингибированном пламени выше, чем